

Universidade Federal do Paraná

Programa de Pós-Graduação em Geologia

GEOL7048: Tópicos Especiais em Geologia Exploratória II

Métodos semiquantitativos

Saulo P. Oliveira

Departamento de Matemática, Universidade Federal do Paraná



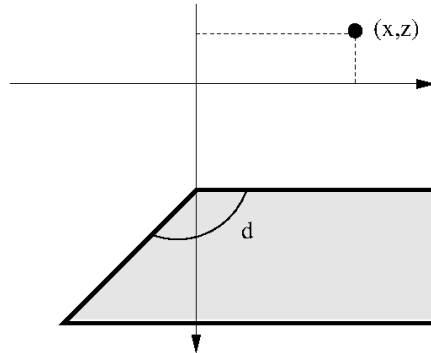
Aula 29

- Anomalia gerada por um contato geológico
- Método tilt depth

Anomalia de um contato



Modelo de anomalia gerada por um contato geológico:

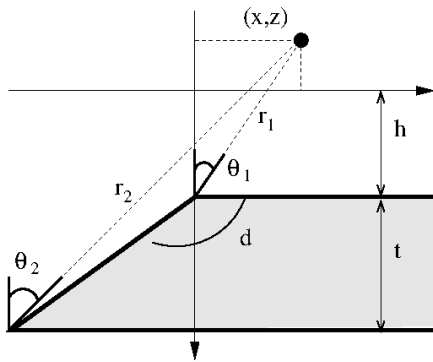


Nabighian (1972) The analytic signal of of two-dimensional magnetic bodies with polygonal cross-section: Its properties and use for automated anomaly interpretation . Geophysics, 37, 507-517

Anomalia de um contato



Modelo de anomalia gerada por um contato geológico:



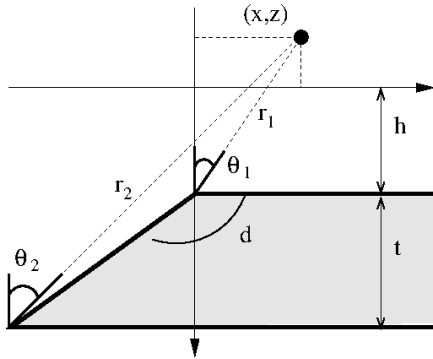
Nabighian (1972) The analytic signal of of two-dimensional magnetic bodies with polygonal cross-section: Its properties and use for automated anomaly interpretation . Geophysics, 37, 507-517

Anomalia de um contato



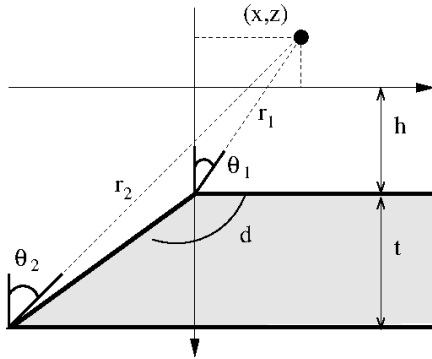
Modelo de anomalia gerada por um contato geológico:

$$M(x, z) = A \left[(\theta_1 - \theta_2) \cos(\phi) + \ln \frac{r_1}{r_2} \sin(\phi) \right]$$

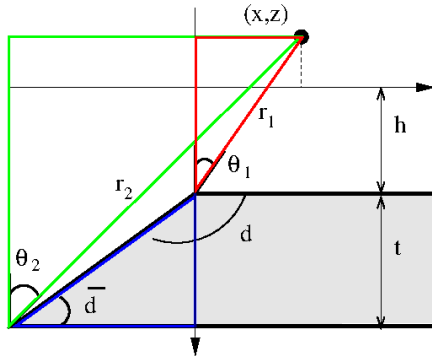


Nabighian (1972) The analytic signal of two-dimensional magnetic bodies with polygonal cross-section: Its properties and use for automated anomaly interpretation . Geophysics, 37, 507-517

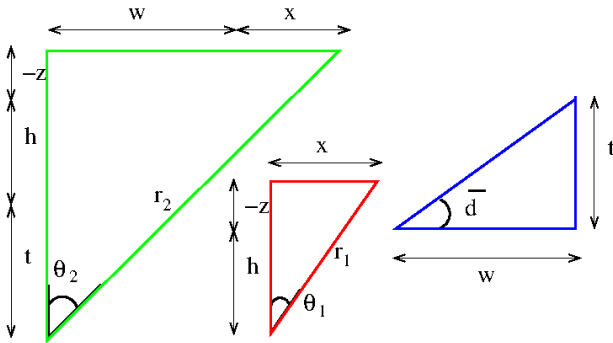
Anomalia de um contato



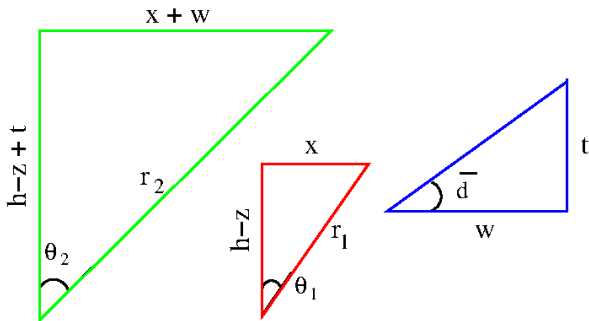
Anomalia de um contato



Anomalia de um contato

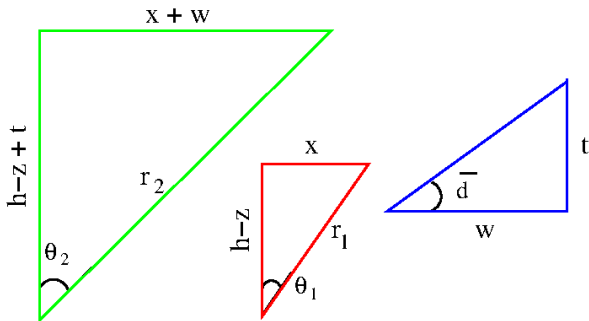


Anomalia de um contato



$$M(x, z) = A \left[(\theta_1 - \theta_2) \cos(\phi) + \ln \frac{r_1}{r_2} \sin(\phi) \right]$$

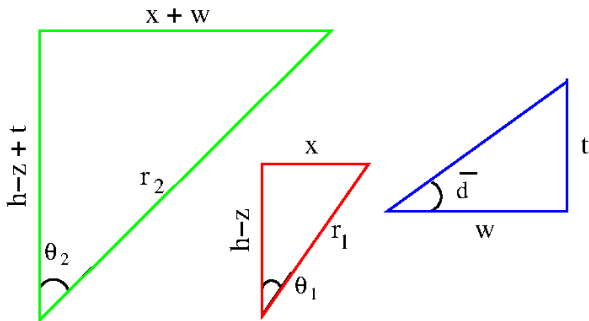
Anomalia de um contato



$$\tan(\theta_1) = \frac{x}{h-z}, \quad \tan(\theta_2) = \frac{x+w}{h-z+t}, \quad \tan(\bar{d}) = \frac{t}{w}$$

$$r_1^2 = (h-z)^2 + x^2, \quad r_2^2 = (h-z+t)^2 + (x+w)^2$$

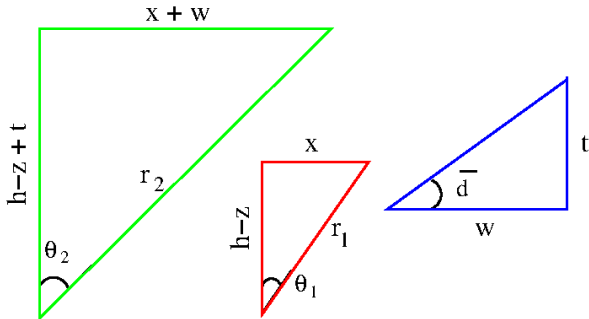
Anomalia de um contato



$$\tan(\theta_1) = \frac{x}{h-z}, \quad \tan(\theta_2) = \frac{x+w}{h-z+t}, \quad |\tan(d)| = \frac{t}{w}$$

$$r_1^2 = (h-z)^2 + x^2, \quad r_2^2 = (h-z+t)^2 + (x+w)^2$$

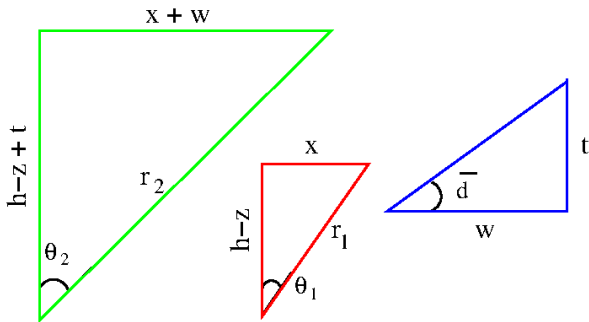
Anomalia de um contato



$$\tan(\theta_1) = \frac{x}{h-z}, \quad \tan(\theta_2) = \frac{x+w}{h-z+t}, \quad w = t|\cot(d)|$$

$$r_1^2 = (h-z)^2 + x^2, \quad r_2^2 = (h-z+t)^2 + (x+w)^2$$

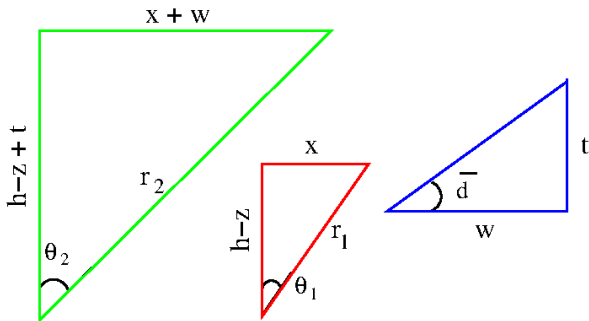
Anomalia de um contato



$$\tan(\theta_1) = \frac{x}{h-z}, \quad \tan(\theta_2) = \frac{x+t|\cot(d)|}{h-z+t},$$

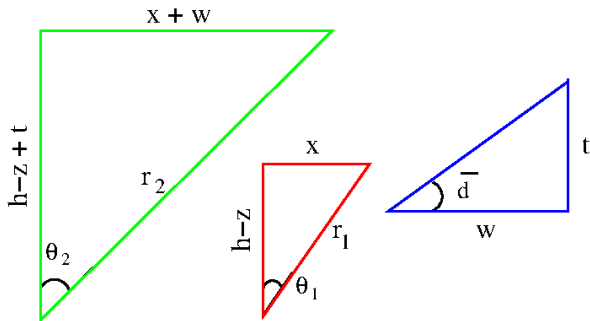
$$r_1^2 = (h-z)^2 + x^2, \quad r_2^2 = (h-z+t)^2 + (x+t|\cot(d)|)^2$$

Anomalia de um contato



$$\begin{aligned} M(x, z) = & A \left[\left(\tan^{-1} \frac{x}{h-z} - \tan^{-1} \frac{x+t|\cot(d)|}{t+h-z} \right) \cos(\phi) + \right. \\ & \left. + \ln \frac{\sqrt{(h-z)^2 + x^2}}{\sqrt{(h-z+t)^2 + (x+t|\cot(d)|)^2}} \sin(\phi) \right] \end{aligned}$$

Anomalia de um contato



$$M(x, z) = A \left[\left(\tan^{-1} \frac{x}{h-z} - \tan^{-1} \frac{x+t|\cot(d)|}{t+h-z} \right) \cos(\phi) + \right. \\ \left. + \frac{1}{2} [\ln((h-z)^2 + x^2) - \ln((h-z+t)^2 + (x+t|\cot(d)|)^2)] \sin(\phi) \right]$$

Anomalia de um contato



$$M(x, z) = A \left[\left(\tan^{-1} \frac{x}{h-z} - \tan^{-1} \frac{x+t|\cot(d)|}{t+h-z} \right) \cos(\phi) + \right. \\ \left. + \frac{1}{2} [\ln((h-z)^2 + x^2) - \ln((h-z+t)^2 + (x+t|\cot(d)|)^2)] \sin(\phi) \right]$$

Derivada com respeito a x

$$\frac{\partial M}{\partial x}(x, z) = A \left[\frac{(h-z)\cos(\phi)}{(h-z)^2 + x^2} - \frac{\cos(\phi)}{(h-z+t) \left[\left(\frac{x+t|\cot(d)|}{h-z+t} \right)^2 + 1 \right]} \right. \\ \left. + \frac{x\sin(\phi)}{(h-z)^2 + x^2} - \frac{(x+t|\cot(d)|)\sin(\phi)}{(x+t|\cot(d)|)^2 + (h-z+t)^2} \right]$$

Anomalia de um contato



$$M(x, z) = A \left[\left(\tan^{-1} \frac{x}{h-z} - \tan^{-1} \frac{x+t|\cot(d)|}{t+h-z} \right) \cos(\phi) + \right. \\ \left. + \frac{1}{2} [\ln((h-z)^2 + x^2) - \ln((h-z+t)^2 + (x+t|\cot(d)|)^2)] \sin(\phi) \right]$$

Derivada com respeito a x , com a espessura $t \rightarrow \infty$

$$\frac{\partial M}{\partial x}(x, z) = A \left[\frac{(h-z)\cos(\phi)}{(h-z)^2 + x^2} + \frac{x\sin(\phi)}{(h-z)^2 + x^2} \right]$$

Anomalia de um contato



$$M(x, z) = A \left[\left(\tan^{-1} \frac{x}{h-z} - \tan^{-1} \frac{x+t|\cot(d)|}{t+h-z} \right) \cos(\phi) + \right. \\ \left. + \frac{1}{2} [\ln((h-z)^2 + x^2) - \ln((h-z+t)^2 + (x+t|\cot(d)|)^2)] \sin(\phi) \right]$$

Derivada com respeito a x , com a espessura $t \rightarrow \infty$

$$\frac{\partial M}{\partial x}(x, z) = A \left[\frac{(h-z)\cos(\phi) + x\sin(\phi)}{(h-z)^2 + x^2} \right]$$

Anomalia de um contato



$$M(x, z) = A \left[\left(\tan^{-1} \frac{x}{h-z} - \tan^{-1} \frac{x+t|\cot(d)|}{t+h-z} \right) \cos(\phi) + \right. \\ \left. + \frac{1}{2} [\ln((h-z)^2 + x^2) - \ln((h-z+t)^2 + (x+t|\cot(d)|)^2)] \sin(\phi) \right]$$

Derivada com respeito a x , com a espessura $t \rightarrow \infty$

$$\frac{\partial M}{\partial x}(x, z) = A \left[\frac{(h-z)\cos(\phi) + x\sin(\phi)}{(h-z)^2 + x^2} \right]$$

Derivada com respeito a z com $t \rightarrow \infty$

$$\frac{\partial M}{\partial z}(x, z) = A \left[\frac{x\cos(\phi) - (h-z)\sin(\phi)}{(h-z)^2 + x^2} \right]$$

Anomalia de um contato



Derivada com respeito a x , com $t \rightarrow \infty$:

$$\frac{\partial M}{\partial x}(x, z) = A \left[\frac{(h - z) \cos(\phi) + x \sin(\phi)}{(h - z)^2 + x^2} \right]$$

Derivada com respeito a z com $t \rightarrow \infty$:

$$\frac{\partial M}{\partial z}(x, z) = A \left[\frac{x \cos(\phi) - (h - z) \sin(\phi)}{(h - z)^2 + x^2} \right]$$

Parâmetros: $A = 2kF[1 - \cos^2(i) \sin^2(\alpha)] \operatorname{sen}(d)$ e $\phi = 2I - d - 90^\circ$,

- k : contraste de susceptibilidade
- F : intensidade do campo magnético terrestre
- i : inclinação do campo magnético terrestre
- α : ângulo entre o norte magnético e o eixo x
- I : ângulo definido por $\tan(I) = \tan(i)/\cos(\alpha)$

Anomalia de um contato



No polo, $\alpha = 0^\circ$ e $i = 90^\circ$, de modo que

$$A = 2kF[1 - \cos^2(i) \sin^2(\alpha)] \operatorname{sen}(d), \quad \phi = 2I - d - 90^\circ, \quad \tan(I) = \frac{\tan(i)}{\cos(\alpha)}$$

Anomalia de um contato



No polo, $\alpha = 0^\circ$ e $i = 90^\circ$, de modo que

$$A = 2kF[1 - \cos^2(90^\circ) \sin^2(0^\circ)] \operatorname{sen}(d), \quad \phi = 2I - d - 90^\circ, \quad \tan(I) = \frac{\tan(90^\circ)}{\cos(0^\circ)}$$

Anomalia de um contato



No polo, $\alpha = 0^\circ$ e $i = 90^\circ$, de modo que

$$A = 2kF[1 - 0] \operatorname{sen}(d), \quad \phi = 2I - d - 90^\circ, \quad \tan(I) = \frac{\tan(90^\circ)}{1}$$

Anomalia de um contato



No polo, $\alpha = 0^\circ$ e $i = 90^\circ$, de modo que

$$A = 2kF \operatorname{sen}(d), \quad \phi = 2I - d - 90^\circ, \quad I = 90^\circ$$

Anomalia de um contato



No polo, $\alpha = 0^\circ$ e $i = 90^\circ$, de modo que

$$A = 2kF \operatorname{sen}(d), \quad \phi = 90^\circ - d$$

Anomalia de um contato



No polo, $\alpha = 0^\circ$ e $i = 90^\circ$, de modo que

$$A = 2kF \operatorname{sen}(d), \quad \phi = 90^\circ - d$$

Assumindo ainda que o contato é vertical $d = 90^\circ$, obtemos

$$A = 2kF \operatorname{sen}(90^\circ), \quad \phi = 90^\circ - 90^\circ$$

Anomalia de um contato



No polo, $\alpha = 0^\circ$ e $i = 90^\circ$, de modo que

$$A = 2kF \operatorname{sen}(d), \quad \phi = 90^\circ - d$$

Assumindo ainda que o contato é vertical $d = 90^\circ$, obtemos

$$A = 2kF, \quad \phi = 0^\circ$$

Anomalia de um contato



No polo, $\alpha = 0^\circ$ e $i = 90^\circ$, de modo que

$$A = 2kF \operatorname{sen}(d), \quad \phi = 90^\circ - d$$

Assumindo ainda que o contato é vertical $d = 90^\circ$, obtemos

$$A = 2kF, \quad \phi = 0^\circ$$

Nestas condições,

$$\frac{\partial M}{\partial x}(x, z) = 2kF \left[\frac{(h-z) \cos(0^\circ) + x \operatorname{sen}(0^\circ)}{(h-z)^2 + x^2} \right]$$

$$\frac{\partial M}{\partial z}(x, z) = 2kF \left[\frac{x \cos(0^\circ) - (h-z) \operatorname{sen}(0^\circ)}{(h-z)^2 + x^2} \right]$$

Anomalia de um contato



No polo, $\alpha = 0^\circ$ e $i = 90^\circ$, de modo que

$$A = 2kF \operatorname{sen}(d), \quad \phi = 90^\circ - d$$

Assumindo ainda que o contato é vertical $d = 90^\circ$, obtemos

$$A = 2kF, \quad \phi = 0^\circ$$

Nestas condições,

$$\frac{\partial M}{\partial x}(x, z) = 2kF \frac{(h - z)}{(h - z)^2 + x^2}, \quad \frac{\partial M}{\partial z}(x, z) = 2kF \frac{x}{(h - z)^2 + x^2}$$

Método tilt depth

Aplicando correção de altitude, podemos considerar $z = 0$:

$$M_x(x, 0) = 2kF \frac{(h - 0)}{(h - 0)^2 + x^2}, \quad M_z(x, 0) = 2kF \frac{x}{(h - 0)^2 + x^2}$$

Salem et al (2007) Tilt-depth method: A simple depth estimation method using first-order magnetic derivatives.
The Leading Edge, 26, 1502-1505

Método tilt depth

Aplicando correção de altitude, podemos considerar $z = 0$:

$$M_x(x, 0) = 2kF \frac{h}{h^2 + x^2}, \quad M_z(x, 0) = 2kF \frac{x}{h^2 + x^2}$$

Salem et al (2007) observaram que

$$\frac{M_z(x, 0)}{M_x(x, 0)} = \frac{2kF \frac{x}{h^2+x^2}}{2kF \frac{h}{h^2+x^2}}$$

Método tilt depth

Aplicando correção de altitude, podemos considerar $z = 0$:

$$M_x(x, 0) = 2kF \frac{h}{h^2 + x^2}, \quad M_z(x, 0) = 2kF \frac{x}{h^2 + x^2}$$

Salem et al (2007) observaram que

$$\frac{M_z(x, 0)}{M_x(x, 0)} = \frac{x}{h}$$

Método tilt depth

Aplicando correção de altitude, podemos considerar $z = 0$:

$$M_x(x, 0) = 2kF \frac{h}{h^2 + x^2}, \quad M_z(x, 0) = 2kF \frac{x}{h^2 + x^2}$$

Salem et al (2007) observaram que

$$\tan^{-1} \left(\frac{M_z(x, 0)}{M_x(x, 0)} \right) = \tan^{-1} \left(\frac{x}{h} \right)$$

Método tilt depth

Aplicando correção de altitude, podemos considerar $z = 0$:

$$M_x(x, 0) = 2kF \frac{h}{h^2 + x^2}, \quad M_z(x, 0) = 2kF \frac{x}{h^2 + x^2}$$

Salem et al (2007) observaram que

$$ISA(x, 0) = \tan^{-1} \left(\frac{x}{h} \right)$$

Método tilt depth

Aplicando correção de altitude, podemos considerar $z = 0$:

$$M_x(x, 0) = 2kF \frac{h}{h^2 + x^2}, \quad M_z(x, 0) = 2kF \frac{x}{h^2 + x^2}$$

Salem et al (2007) observaram que

$$ISA(x = 0, 0) = \tan^{-1} \left(\frac{0}{h} \right), \quad ISA(x = h, 0) = \tan^{-1} \left(\frac{h}{h} \right)$$

Método tilt depth

Aplicando correção de altitude, podemos considerar $z = 0$:

$$M_x(x, 0) = 2kF \frac{h}{h^2 + x^2}, \quad M_z(x, 0) = 2kF \frac{x}{h^2 + x^2}$$

Salem et al (2007) observaram que

$$ISA(x = 0, 0) = \tan^{-1}(0), \quad ISA(x = h, 0) = \tan^{-1}(1)$$

Salem et al (2007) [Tilt-depth method: A simple depth estimation method using first-order magnetic derivatives.](#)
The Leading Edge, 26, 1502-1505

Método tilt depth

Aplicando correção de altitude, podemos considerar $z = 0$:

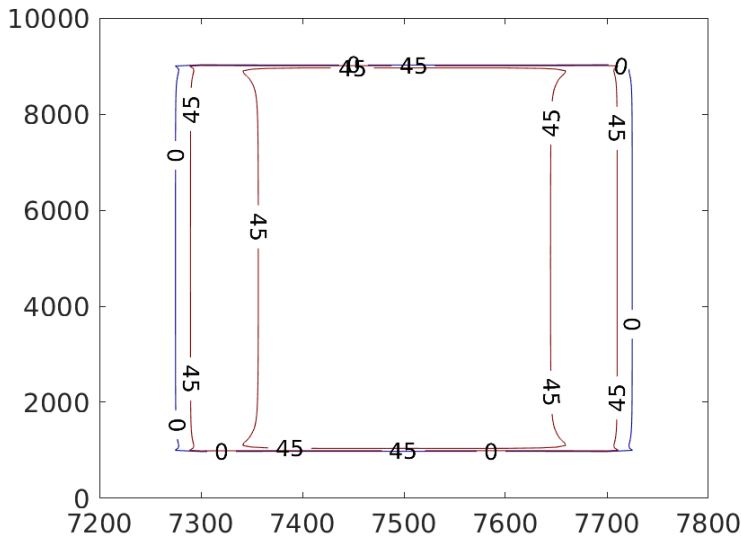
$$M_x(x, 0) = 2kF \frac{h}{h^2 + x^2}, \quad M_z(x, 0) = 2kF \frac{x}{h^2 + x^2}$$

Salem et al (2007) observaram que

$$ISA(x = 0, 0) = 0^\circ, \quad ISA(x = h, 0) = 45^\circ$$

O método **tilt depth** consiste em estimar h pela distância entre as isolinhas $ISA = 0^\circ$ e $ISA = 45^\circ$:

Método tilt depth



Método tilt depth

